

PREMIER PROBLEME : Filtre de Rauch

1) Si on échangeait les entrées \oplus et \ominus , alors il n'y aurait plus de rétroaction entre la sortie de l'ALI et l'entrée inverseuse, donc l'ALI fonctionnerait en régime saturé.

2) ALI idéal $\Rightarrow \bar{i}^+ = \bar{i}^- = 0$

* ALI de gain infini + régime linéaire $\Rightarrow V^+ = V^-$

* $\infty V^+ = 0 \Rightarrow V^- = 0$

* $\bar{i}^- = 0 \Rightarrow V^- = \frac{V_A j\omega C\omega + \frac{V_3}{R_2}}{j\omega C\omega + \frac{1}{R_2}}$ (thm de Millmann)

ou $V^- = 0$

$\Rightarrow V_A = \frac{-V_3}{jR_2 C\omega}$ (1)

* thm de Millmann en A:

$\Rightarrow V_A = \frac{\frac{V_2}{R_1} + \frac{0}{R} + j\omega C\omega V^+ + j\omega C\omega V_3}{\frac{1}{R_1} + \frac{1}{R} + j\omega C\omega + j\omega C\omega}$

$V_A = \frac{\frac{V_2}{R_1} + j\omega C\omega V_3}{\frac{1}{R_1} + \frac{1}{R} + 2j\omega C\omega}$ (2)

* (1) et (2): $\frac{-V_3}{jR_2 C\omega} = \frac{\frac{V_2}{R_1} + j\omega C\omega V_3}{\frac{1}{R_1} + \frac{1}{R} + 2j\omega C\omega}$

$\Rightarrow \frac{V_2}{R_1} + j\omega C\omega V_3 - j\frac{1}{R_2 C\omega} \left(\frac{1}{R_1} + \frac{1}{R} + 2j\omega C\omega \right) V_3 = 0$

$\Rightarrow \underline{V_2} = \underline{V_3} \left(-jR_1 C\omega + \frac{j}{R_2 C\omega} + j\frac{R_1}{R R_2 C\omega} - \frac{2R_1}{R_2} \right)$

$\frac{\underline{V_2}}{\underline{V_3}} = \frac{1}{-\frac{2R_1}{R_2} + j\left(-R_1 C\omega + \frac{1}{R_2 C\omega} + \frac{R_1}{R R_2 C\omega}\right)}$

$\underline{T} = \frac{-\frac{R_2}{2R_1}}{1 + \frac{j}{2} \left(R_2 C\omega - \frac{1}{R_1 C\omega} - \frac{1}{R C\omega} \right)}$

$\underline{T} = \frac{-\frac{R_2}{2R_1}}{1 + \frac{j}{2} \left(R_2 C\omega - \underbrace{\left(\frac{1}{R_1} + \frac{1}{R} \right)}_{\frac{1}{R'}} \frac{1}{C\omega} \right)}$

$\underline{T} = \frac{T_0}{1 + jQ\left(x - \frac{1}{x}\right)}$

avec $x = \frac{\omega}{\omega_0}$

avec $T_0 = -\frac{R_2}{2R_1}$

$\begin{cases} Q/\omega_0 = \frac{R_2 C}{2} \\ Q\omega_0 = \frac{1}{2R_1 C} \end{cases} \Rightarrow \begin{cases} Q = \frac{1}{2} \sqrt{\frac{R_2}{R_1}} \\ \omega_0 = \frac{1}{C\sqrt{R_1 R_2}} \end{cases}$

3) BF: $\omega \ll \omega_0, x \ll 1, \underline{T} = \frac{T_0}{1 + jQ\left(x - \frac{1}{x}\right)}$

$\underline{T} \approx j\frac{T_0 x}{Q} \quad T = \frac{|T_0|}{Q} x$

$G = 20 \log \frac{|T_0|}{Q} + 20 \log x$
↑ pente +20dB/décade

* HF: $\omega \gg \omega_0, x \gg 1, \underline{T} = \frac{T_0}{1 + jQ\left(x - \frac{1}{x}\right)}$

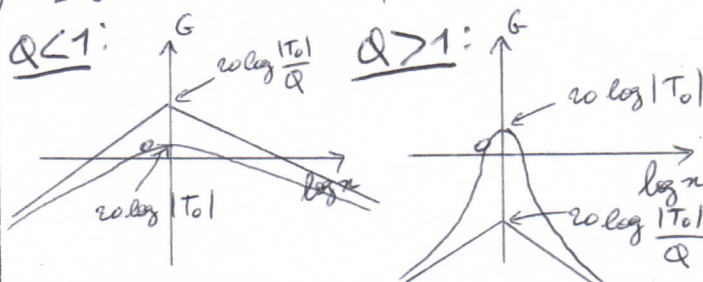
$\underline{T} = \frac{-jT_0}{Qx} \quad T = \frac{|T_0|}{Qx}$

$G = 20 \log \frac{|T_0|}{Q} - 20 \log x$
↑ pente -20dB/décade

* intersection des asymptotes:
 $20 \log \frac{|T_0|}{Q} + 20 \log x = 20 \log \frac{|T_0|}{Q} - 20 \log x$

$\Rightarrow x = 1$ et alors $G = 20 \log \frac{|T_0|}{Q}$

* $\underline{T}(x=1) = T_0 \quad T = |T_0| \quad G = 20 \log |T_0|$



Si $Q > 1$: filtre passe-bande sélectif

Si $Q < 1$: filtre passe-bande à bande large

$$4) |I|(\omega_c) = \frac{|I|_{\max}}{\sqrt{2}} \quad \text{pour } f=f_c$$

$$|I| = \frac{|T_0|}{\sqrt{1+Q^2\left(\omega-\frac{1}{\omega}\right)^2}}$$

$$|I|_{\max} = |T_0| \quad (\text{pour } \omega=1)$$

$$\Rightarrow \frac{|T_0|}{\sqrt{2}} = \frac{|T_0|}{\sqrt{1+Q^2\left(\omega-\frac{1}{\omega}\right)^2}}$$

$$\Rightarrow Q^2\left(\omega-\frac{1}{\omega}\right)^2 = 1 \Rightarrow Q\left(\omega-\frac{1}{\omega}\right) = \pm 1$$

$$\Rightarrow \omega^2 \pm \frac{\omega}{Q} - 1 = 0$$

$$\Delta = \frac{1}{Q^2} + 4 \quad \omega = \frac{\pm \frac{1}{Q} + \sqrt{\frac{1}{Q^2} + 4}}{2} > 0$$
$$= \frac{f}{f_0}$$

\Rightarrow

$$f_{\text{cb}} = f_0 \frac{-\frac{1}{Q} + \sqrt{\frac{1}{Q^2} + 4}}{2}$$
$$f_{\text{ch}} = f_0 \frac{\frac{1}{Q} + \sqrt{\frac{1}{Q^2} + 4}}{2}$$

$$\Delta f = f_{\text{ch}} - f_{\text{cb}} \Rightarrow \Delta f = \frac{f_0}{Q}$$

5) a) * $\langle v_e \rangle = 0$ pour le créneau et son développement en série de Fourier, car pas de composante continue.

* C'est une série de sinus, OK car le signal créneau est impair.

b) Cela revient à changer t en $t + \frac{T}{4}$ dans l'expression précédente.

$$\Rightarrow v_e = \frac{4V_0}{\pi} \sum_{p=0}^{\infty} \frac{1}{2p+1} \sin\left(\frac{2\pi(2p+1)t}{T} + (2p+1)\frac{\pi}{2}\right)$$

$$v_e = \frac{4V_0}{\pi} \sum_{p=0}^{\infty} \frac{(-1)^p}{2p+1} \cos\left(\frac{2\pi(2p+1)t}{T}\right)$$

v_e est paire, on a bien une série de cosinus.

c) L-harmonique de rang 3 a une fréquence $3f$.

$$\Rightarrow 3f = f_0 \Rightarrow f = \frac{f_0}{3} = 557 \text{ Hz}$$

* Pour le fondamental, $\omega = \frac{1}{3}$

$$\Rightarrow |I| = \frac{|T_0|}{\sqrt{1+Q^2\left(\omega-\frac{1}{\omega}\right)^2}} = \frac{5,00}{\sqrt{1+5,24^2\left(\frac{1}{3}-3\right)^2}}$$

amplitude du fondamental en entrée: $\frac{4V_0}{\pi} = \frac{2}{\pi}$ ($=0,64V$)
($2p+1=1, p=0$)

\Rightarrow amplitude du fondamental en sortie:

$$\frac{2}{\pi} \frac{5,00}{\sqrt{1+5,24^2\left(\frac{1}{3}-3\right)^2}} \quad (=0,23V)$$

* Pour l-harmonique de rang 3: $\omega=1$

$$|I| = |T_0| = 5,00$$

amplitude de l-harmonique de rang 3 en entrée:
($2p+1=3, p=1$)

$$\frac{4V_0}{3\pi} = \frac{2}{3\pi} \quad (=0,21V)$$

amplitude de l-harmonique de rang 3 en sortie:

$$\frac{2}{3\pi} \times 5,00 = \frac{10}{3\pi} \quad (=1,06V)$$

* Le filtre est assez sélectif ($Q \approx 5 \gg 1$), seul l-harmonique de rang 3 est dans la bande passante, ~~est~~ est transmis avec une amplitude notable ($1,06 \gg 0,23$). Le signal de sortie est pratiquement sinusoïdal de fréquence $3f = f_0 = 1,67 \text{ kHz}$ et d'amplitude $\frac{10}{3\pi} = 1,06V$.

DEUXIEME PROBLEME: Caractère dérivateur

1) Filtre passif théorique: Etude d'un filtre passe-haut du premier ordre

1-1) diviseur de tension $\Rightarrow H = \frac{v_s}{v_e} = \frac{R}{R + \frac{1}{j\omega C}} = \frac{jRC\omega}{1 + jRC\omega}$ ($I_s = 0$)

$$H = \frac{j\frac{\omega}{\omega_0}}{1 + j\frac{\omega}{\omega_0}} \quad \text{avec } \omega_0 = \frac{1}{RC}$$

1-2) * $\omega = \omega_0$, $H = \frac{j}{1+j} = \frac{1}{1-j}$

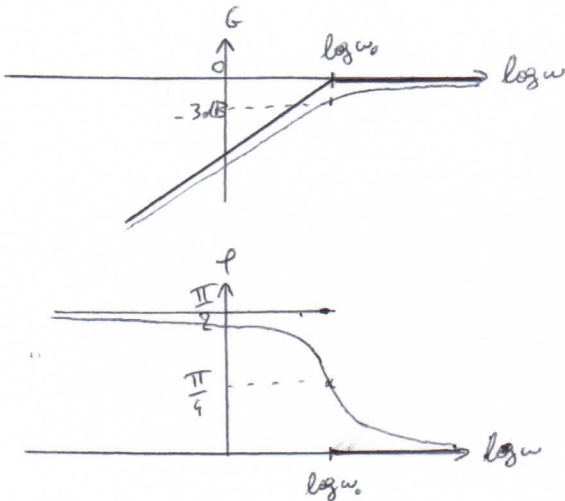
$\Rightarrow |H| = \frac{1}{\sqrt{2}} \Rightarrow G = 20 \log \frac{1}{\sqrt{2}} = -3 \text{ dB}$

et $\varphi = +\frac{\pi}{4}$

* $\omega \rightarrow 0$, $H \rightarrow j\frac{\omega}{\omega_0}$ $\varphi \rightarrow +\frac{\pi}{2}$

$G \rightarrow 20 \log \omega - 20 \log \omega_0$ pente +20 dB/décade

* $\omega \rightarrow \infty$, $H \rightarrow 1$, $G \rightarrow 0$, $\varphi \rightarrow 0$



1-3) * $G = A + 20 \log \omega = 20 \log B + 20 \log \omega = 20 \log B\omega$

$\Rightarrow |H| = B\omega$

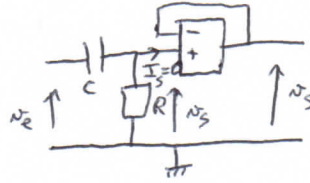
* $\varphi = \pm \frac{\pi}{2} \Rightarrow H = \pm j |H|$

$\Rightarrow H = \pm j B\omega = \frac{v_s}{v_e} \Rightarrow v_s = \pm B(j\omega) v_e$

$\approx \times j\omega \Leftrightarrow \frac{d}{dt} \Rightarrow v_s = \pm B \frac{dv_e}{dt}$

\Rightarrow dérivateur

1-4) Il est possible d'observer v_s sans déformation à condition que l'appareil de mesure ne fasse pas dériver le filtre ($I_s = 0$). Si on intercale un montage suiveur, on est assuré d'avoir $I_s = 0$ (ALI idéal).



2) ALI idéal $\Rightarrow i_+ = i_- = 0$

régime linéaire $\Rightarrow v_+ = v_-$ ou $v_+ = 0 \Rightarrow v_- = 0$
ALI de gain infini

loi des nœuds sur l'entrée inverseuse: (avec $i_- = 0$)

$i = C \frac{d(v_e - v_-)}{dt} = \frac{v_- - v_s}{R}$

$\Rightarrow v_s = -RC \frac{dv_e}{dt}$ dérivation du signal d'entrée

3-1) $v_s = \mu \varepsilon = \mu (v_+ - v_-) = -\mu v_-$
à la masse

théorème de Millman: $v_- = \frac{\frac{v_e}{Z} + \frac{v_s}{R}}{\frac{1}{Z} + \frac{1}{R}}$ ($i_- = 0$)

avec $Z = R' + \frac{1}{j\omega C}$

$\Rightarrow \left(\frac{1}{Z} + \frac{1}{R}\right) v_s = -\mu \left(\frac{v_e}{Z} + \frac{v_s}{R}\right) = -\frac{\mu}{Z} \left(v_e + \frac{Z}{R} v_s\right)$

$\Rightarrow v_s \left(+\frac{Z}{\mu} \left(\frac{1}{Z} + \frac{1}{R}\right) + \frac{Z}{R}\right) = -v_e$

$\Rightarrow H = \frac{v_s}{v_e} = \frac{-1}{\frac{Z}{R} + \frac{1}{\mu} \left(1 + \frac{Z}{R}\right)}$

avec $\frac{1}{\mu} = \frac{1 + j\frac{f}{f_0}}{\mu_0} = \frac{1}{\mu_0} + j\frac{f}{\mu_0 f_0} = \frac{1}{\mu_0} + j\frac{f}{f_1}$

et $Z = R' + \frac{1}{j\omega C} = R' + \frac{1}{j2\pi f C}$

$\Rightarrow \frac{Z}{R} = \frac{R'}{R} + \frac{1}{j2\pi R C f} = \frac{R'}{R} + \frac{f_2}{jf}$

$$\Rightarrow \underline{H} = \frac{-1}{\left(\frac{R'}{R} + \frac{b_2}{j\omega}\right) + \left(\frac{1}{\mu_0} + j\omega \frac{b_1}{R}\right) \left(1 + \frac{R'}{R} + \frac{b_2}{j\omega}\right)}$$

$$\underline{H} = \frac{-1}{\left(\frac{R'}{R} + \frac{1}{\mu_0} + \frac{1}{\mu_0} \frac{R'}{R} + \frac{b_2}{j\omega}\right) + j\omega \frac{b_1}{R} \left(1 + \frac{R'}{R}\right) + \frac{b_2}{j\omega} \left(1 + \frac{1}{\mu_0}\right)}$$

3-2) $\frac{R'}{R} + \frac{1}{\mu_0} + \frac{1}{\mu_0} \frac{R'}{R} + \frac{b_2}{j\omega} \approx \frac{R'}{R} + \frac{b_2}{j\omega}$
 $\mu_0 R' \gg R \quad R' \ll R$

$1 + \frac{1}{\mu_0} \approx 1$ et $1 + \frac{1}{\mu_0} \approx 1$
 $R' \ll R \quad \mu_0 \gg 1$

$$\Rightarrow \underline{H} = \frac{-1}{\left(\frac{R'}{R} + \frac{b_2}{j\omega}\right) + j\omega \frac{b_1}{R} + \frac{b_2}{j\omega}}$$

$$\underline{H} = \frac{-j\omega \frac{b_2}{R}}{1 + j\omega \frac{b_1}{R} \left(\frac{R'}{R} + \frac{b_2}{j\omega}\right) - \frac{b_2}{b_1 b_2}}$$

$$\underline{H} = \frac{\left(-\frac{\sqrt{b_1 b_2}}{b_2}\right) j \frac{b_1}{\sqrt{b_1 b_2}}}{1 + j \frac{b_1}{\sqrt{b_1 b_2}} \sqrt{b_1 b_2} \left(\frac{R'}{R b_2} + \frac{1}{b_1}\right) - \left(\frac{b_1}{\sqrt{b_1 b_2}}\right)^2}$$

$$\Rightarrow \underline{H} = \frac{A j \omega}{1 + j \frac{\omega}{Q} - \omega^2}$$

avec $f_c = \sqrt{b_1 b_2} \quad \omega = \frac{f}{f_c} \quad A = -\frac{b_1}{b_2}$

et $Q = \frac{1}{f_c \left(\frac{R'}{R b_2} + \frac{1}{b_1}\right)}$

3-3) * TBF: $\omega \rightarrow 0, \underline{H} \rightarrow A j \omega, G \rightarrow 20 \log |A| + 20 \log \omega$
 pente à $+20 \text{ dB/décade}$

* THF: $\omega \rightarrow \infty, \underline{H} \rightarrow \frac{A j \omega}{-\omega^2} = -\frac{A j}{\omega}$

$G \rightarrow 20 \log |A| - 20 \log \omega$ pente à -20 dB/décade

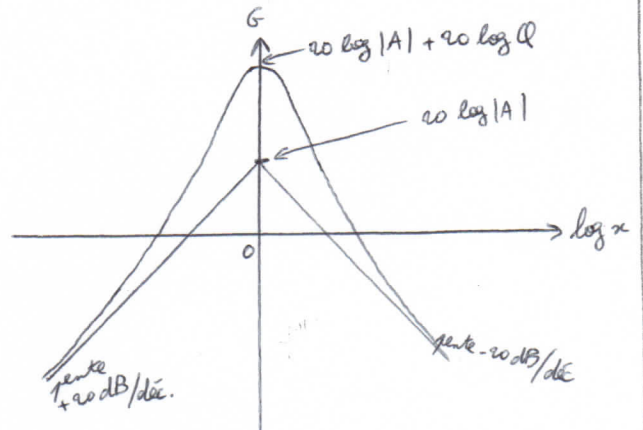
* intersection des asymptotes: $20 \log |A| - 20 \log \omega = 20 \log |A| + 20 \log \omega$

$\Rightarrow \omega = 1$ et $G = 20 \log |A|$

* $\omega = 1, \underline{H} = \frac{A j}{1 + \frac{1}{Q}} = A Q$

$G = 20 \log |A| + 20 \log Q > 20 \log |A|$
 car $Q > 1$

\Rightarrow la courbe est au-dessus des asymptotes.



3-4) * $f_c = 19,6 \text{ kHz}$

* on constate que la courbe est proche de l'asymptote à $+20 \text{ dB/décade}$ uniquement pour des fréquences $f \ll f_c$. Le filtre est dérivateur pour des fréquences $f \ll f_c$. Or $10 \text{ kHz} \not\ll 19,6 \text{ kHz} \Rightarrow$ le montage n'est pas dérivateur pour des fréquences voisines de 10 kHz .

Rq: Avec seulement la cellule (R,C) du 1), le caractère dérivateur cessait dès la fréquence $f_c = 153 \text{ Hz}$: le domaine d'utilisation du montage avec ALI est donc plus étendu.

3-5) signal triangulaire $100 \text{ Hz} =$ sinusoides de fréquence $100, 300, 500, 700, \dots \text{ Hz}$. Le montage, qui est un filtre passe-bande, laisse passer essentiellement les harmoniques de fréquences voisines de $f_c = 19,6 \text{ kHz}$ (filtre sélectif) \Rightarrow ondulations de fréquence voisines de 10 kHz . De plus, les 1^{ères} harmoniques (d'amplitude importante) sont dans le domaine dérivateur du filtre $\Rightarrow \text{N} \rightarrow \text{N} + \text{ondulations}$

TROISIEME PROBLEME: Oscillateur quasi-sinusoidal

I) Etude d'un filtre de Wien:

I-1.a) pont diviseur de tension: $H = \frac{Z_{q2}}{Z_{q1} + Z_{q2}}$ ($i_s = 0$)

avec $Z_{q2} = R \parallel \frac{1}{j\omega C} \Rightarrow \frac{1}{Z_{q2}} = \frac{1}{R} + j\omega C$

et $Z_{q1} = R + \frac{1}{j\omega C}$

$$\underline{H} = \frac{1}{1 + \frac{Z_{q1}}{Z_{q2}}} = \frac{1}{1 + \left(R + \frac{1}{j\omega C}\right) \left(\frac{1}{R} + j\omega C\right)}$$

$$\underline{H} = \frac{1}{3 + jRC\omega + \frac{1}{jRC\omega}}$$

on pose $\omega_0 = \frac{1}{RC}$

$$\Rightarrow \underline{H} = \frac{1/3}{1 + \frac{j}{3} \left(\frac{\omega}{\omega_0} - \frac{\omega_0}{\omega}\right)}$$

$$\omega_0 = \frac{1}{RC} \quad ; \quad A = \frac{1}{3} \quad ; \quad Q = \frac{1}{3}$$

I-1.b) $|\underline{H}| = \frac{1/3}{\sqrt{1 + \frac{1}{9} \left(\frac{\omega}{\omega_0} - \frac{\omega_0}{\omega}\right)^2}}$

* $|\underline{H}|$ est max pour $\omega = \omega_0$ et $|\underline{H}|_{max} = \frac{1}{3}$

$\Rightarrow G_{max} = 20 \log \frac{1}{3} = -20 \log 3 \approx -20 \times 0,5 \approx -10 \text{ dB}$

$\underline{H}(\omega = \omega_0) = \frac{1}{3} \Rightarrow \varphi(\omega_0) = 0$

* $\omega \rightarrow 0, \underline{H} \rightarrow \frac{1/3}{-j \frac{\omega_0}{\omega}} = j \frac{\omega}{\omega_0}$

$\varphi \rightarrow \frac{\pi}{2} \quad G \rightarrow 20 \log \omega - 20 \log \omega_0$ pente +20dB/déc

* $\omega \rightarrow \infty, \underline{H} \rightarrow \frac{1/3}{j \frac{\omega}{\omega_0}} = -j \frac{\omega_0}{\omega}$

$\varphi \rightarrow -\frac{\pi}{2} \quad G \rightarrow 20 \log \omega_0 - 20 \log \omega$ pente -20dB/déc

* intersection des asymptotes: $20 \log \omega_0 - 20 \log \omega = 20 \log \omega - 20 \log \omega_0$

$\Rightarrow \omega = \omega_0$ et alors $G = 0$

I-2) $\underline{H} = \frac{N_s}{N_e} = \frac{A}{1 + jQ \left(\frac{\omega}{\omega_0} - \frac{\omega_0}{\omega}\right)}$

on multiplie par $j \frac{\omega}{\omega_0}$ au numérateur et au dénominateur

$$\Rightarrow \frac{N_s}{N_e} = \frac{A j \frac{\omega}{\omega_0}}{j \frac{\omega}{\omega_0} + \frac{Q}{\omega_0^2} (j\omega)^2 + Q}$$

$$\Rightarrow N_s \left(1 + \frac{j\omega}{\omega_0 Q} + \frac{(j\omega)^2}{\omega_0^2}\right) = \frac{A}{\omega_0 Q} j\omega N_e$$

$\times j\omega \Leftrightarrow \frac{d}{dt}$

$$\Rightarrow N_s + \frac{1}{\omega_0 Q} \frac{dN_s}{dt} + \frac{1}{\omega_0^2} \frac{d^2 N_s}{dt^2} = \frac{A}{\omega_0 Q} \frac{dN_e}{dt}$$

$$\frac{d^2 N_s}{dt^2} + \frac{\omega_0}{Q} \frac{dN_s}{dt} + \omega_0^2 N_s = \omega_0 \frac{dN_e}{dt}$$

car $A = Q = \frac{1}{3}$

II) Oscillateur quasi-sinusoidal:

II-1) AII idéal:

- * résistance d'entrée infinie $\Rightarrow i^+ = i^- = 0$
- * résistance de sortie nulle
- * saturation de la tension de sortie: $|V_s| \leq V_{sat}$
- * saturation de l'intensité de sortie: $i_{s,max} \approx 20 \text{ mA}$

II-2) thm de Millmann sur l'entrée inverseuse: ($i^- = 0$)

$$V_- = \frac{\frac{N_e}{R_2} + \frac{0}{R_1}}{\frac{1}{R_2} + \frac{1}{R_1}} \Rightarrow N_e = \left(1 + \frac{R_2}{R_1}\right) V_-$$

$$N_e = \frac{R_1 + R_2}{R_1} V_-$$

II-3-a) $V_+ = v_s = V_-$ (régime linéaire ALI de gain infini $\Rightarrow V_+ = V_-$)

$$\Rightarrow v_s = \frac{R_1 + R_2}{R_1} v_s$$

cf I-2) $\Rightarrow \frac{d^2 v_s}{dt^2} + \frac{\omega_0}{Q} \frac{dv_s}{dt} + \omega_0^2 v_s = \omega_0 \frac{R_1 + R_2}{R_1} \frac{dv_s}{dt}$

$$\Rightarrow \frac{d^2 v_s}{dt^2} + \frac{\omega_0}{Q} \left[1 - Q \left(\frac{R_1 + R_2}{R_1} \right) \right] \frac{dv_s}{dt} + \omega_0^2 v_s = 0$$

II-3-b) solution sinusoidale si on a l'équation d'un oscillateur harmonique: $\frac{d^2 v_s}{dt^2} + \omega_0^2 v_s = 0$

$$\Rightarrow \text{si } 1 - Q \left(\frac{R_1 + R_2}{R_1} \right) = 0$$

$$\Rightarrow Q \left(\frac{R_1 + R_2}{R_1} \right) = 1$$

$$\text{or } Q = \frac{1}{3} \Rightarrow R_1 + R_2 = 3R_1$$

$$\Rightarrow \boxed{R_2 = 2R_1}$$

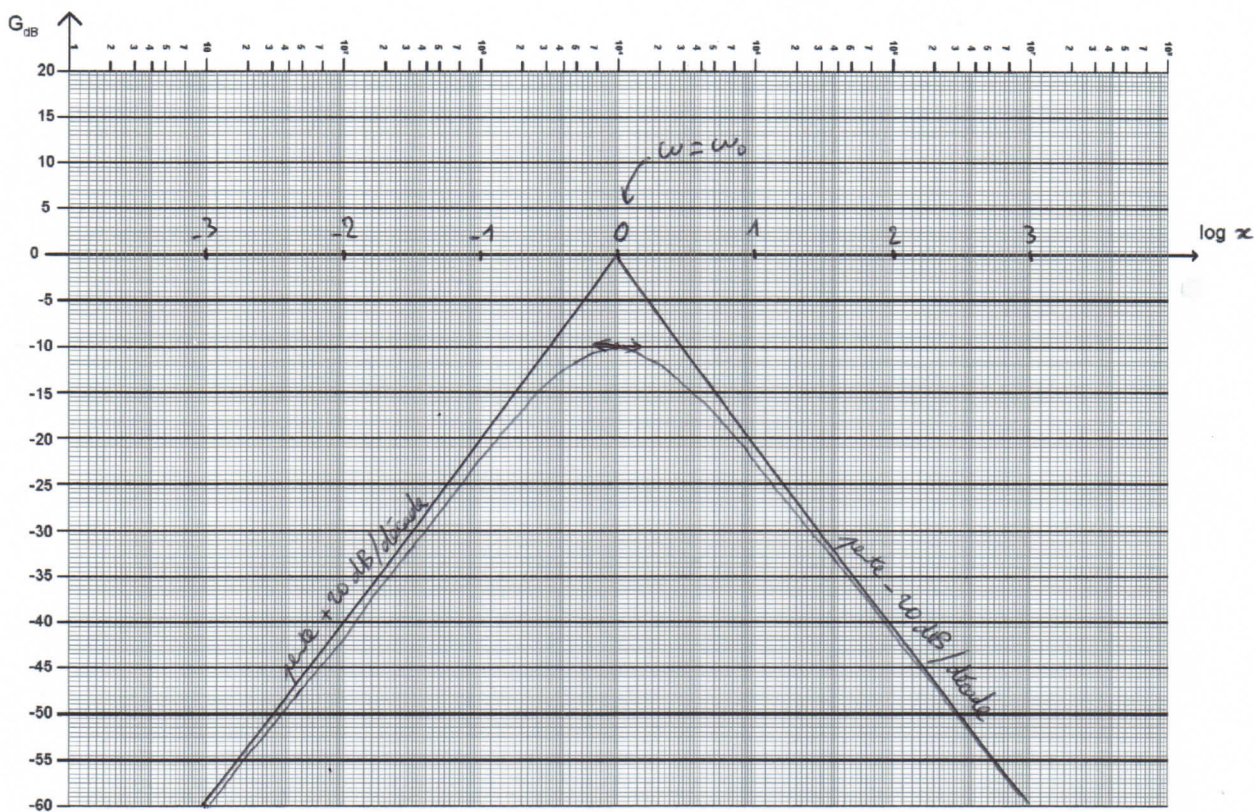
II-3-c) si $1 - Q \left(\frac{R_1 + R_2}{R_1} \right) < 0$

le terme devant la dérivée 1^{ère} est < 0 , le système est instable ($\gamma > 0$, $\omega_0^2 > 0$)

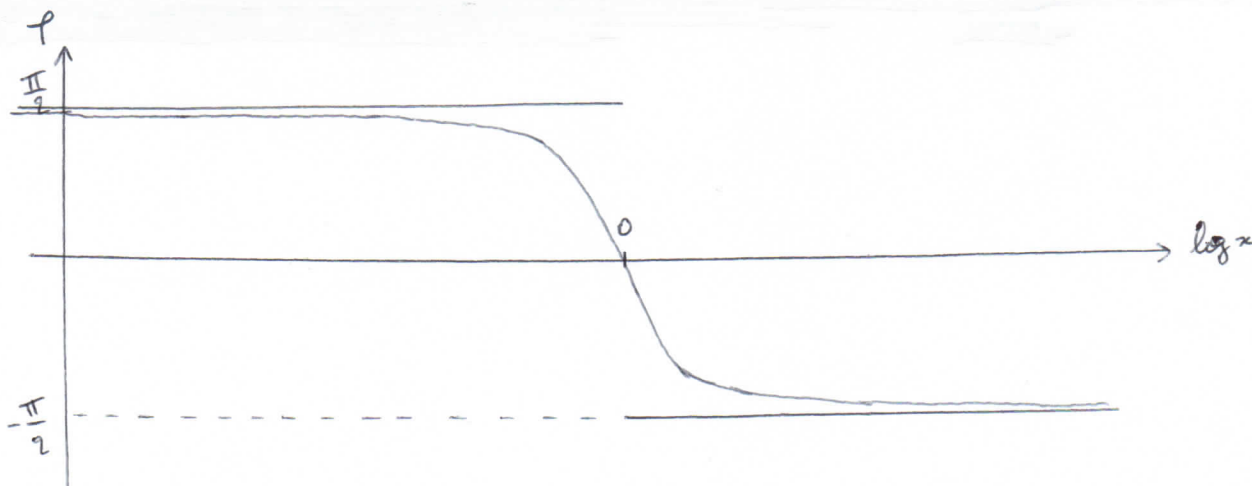
\Rightarrow amplification, régime linéaire instable

\Rightarrow l'ALI va saturer

R₉: cf TPE4 I) + TPES



Papier semi-logarithmique



QUATRIEME PROBLEME: Oscillateur de relaxation

1-1) * absence de boucle de rétroaction sur l'entrée inverseuse \ominus

\Rightarrow fonctionnement de l'ALI en saturation $\Rightarrow u_s = \pm U_{sat}$

* Supposons $u_s = +U_{sat}$, alors $V^+ = \frac{R_2}{R_1 + R_2} U_{sat} = k U_{sat}$

(pont diviseur de tension)
car $i^+ = 0$ car ALI idéal

$$u_s = +U_{sat} \Leftrightarrow \varepsilon = V^+ - V^- > 0 \Leftrightarrow \varepsilon = k U_{sat} - u_e > 0$$

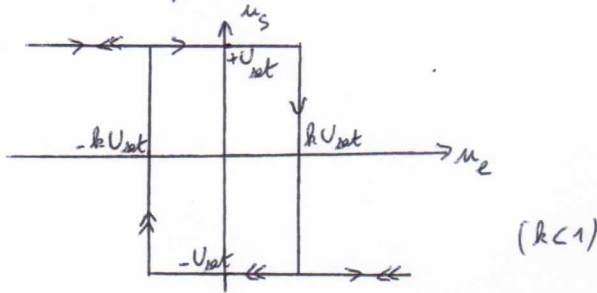
$$\Leftrightarrow u_e < k U_{sat}$$

- Quand u_e atteint la valeur $k U_{sat}$, l'ALI bascule en sortie à $u_s = -U_{sat}$ et ceci tant que $\varepsilon = V^+ - V^- < 0$

à savoir $\varepsilon = -k U_{sat} - u_e < 0$ donc $u_e > -k U_{sat}$
(car $V^+ = \frac{R_2}{R_1 + R_2} u_s = -k U_{sat}$)

- En faisant diminuer u_e , le basculement en sortie de $-U_{sat}$ à $+U_{sat}$ intervient pour $u_e = -k U_{sat}$

- d'où la caractéristique de transfert:



1-2) comparateur à hystérésis inverseur (cf TP E6)

1-3) ALI idéal $\Rightarrow i_- = 0 \Rightarrow$ le courant i passant dans R est le même que dans C

$$\begin{cases} i = C \frac{du_e}{dt} \\ u_e + Ri = u_s \text{ (loi des mailles)} \end{cases} \Rightarrow \tau \frac{du_e}{dt} + u_e = u_s$$

1-4) on résout l'équa. diff. $\Rightarrow u_e = A e^{-t/\tau} + u_s$

à $u_s = +U_{sat}$ et $u_e(t=0) = 0 \Rightarrow u_e = U_{sat} (1 - e^{-t/\tau})$

* d'après 1-1), la saturation haute se poursuit tant que

$$u_e \leq k U_{sat} \Leftrightarrow 1 - e^{-t/\tau} \leq k$$

$$t \leq t_1 = -\tau \ln(1-k)$$

1-5) Revenons l'étude temporelle de $u_e(t)$:

* à $t = t_1$, l'ALI bascule en sortie à $u_s = -U_{sat}$

$$\Rightarrow \tau \frac{du_e}{dt} + u_e = -U_{sat}$$

$$\Rightarrow u_e = -U_{sat} + \lambda e^{-\frac{(t-t_1)}{\tau}}$$

continuité de u_e en $t = t_1 \Rightarrow \lambda =$

$$\Rightarrow k U_{sat} = -U_{sat} + \lambda \Rightarrow \lambda = (k+1) U_{sat}$$

$$\Rightarrow u_e = U_{sat} \left[(k+1) e^{-\frac{(t-t_1)}{\tau}} - 1 \right] \quad t \geq t_1$$

* un nouveau basculement intervient quand $u_e = -k U_{sat}$ (cf 1-1))

$$\Rightarrow -k U_{sat} = U_{sat} \left[(k+1) e^{-\frac{(t_2-t_1)}{\tau}} - 1 \right]$$

$$\Rightarrow \text{pour } t_2 = t_1 + \tau \ln \left(\frac{1+k}{1-k} \right)$$

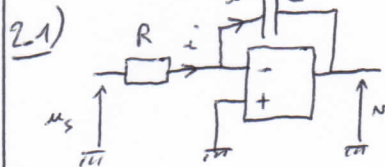
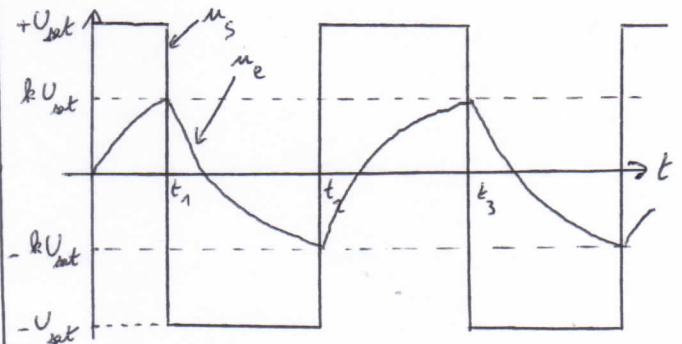
u_s reprend alors la valeur $+U_{sat}$

* $t > t_2$, u_e va croître jusqu'à atteindre la valeur $k U_{sat}$ entraînant un nouveau basculement à $-U_{sat}$ à $t = t_3$

La durée de croissance $t_3 - t_2$ est égale à celle de décroissance $t_2 - t_1$.

On en déduit la période T du phénomène: $T = 2(t_2 - t_1)$

$$\Rightarrow f = \frac{1}{2\tau \ln \left(\frac{1+k}{1-k} \right)}$$



2-1)

ALI idéal $\Rightarrow i_- = 0$
contre-réaction $\ominus \Rightarrow$ régime linéaire $\Rightarrow V^- = V^+ = 0$

$$u_s = R i \text{ et } i = -C \frac{du_e}{dt}$$

ALI de gain infini $\Rightarrow V^- = V^+ = 0$
 $\Rightarrow \frac{du_e}{dt} = -\frac{1}{RC} u_s$
($v = -\frac{1}{RC} \int u_s dt$)

\Rightarrow montage intégrateur

$$\frac{du_e}{dt} = -\frac{1}{\tau} u_s$$

2-3) théo de Millman à l'entrée inverseuse de l'ALI: ($i^+ = 0$)

$$u_e = \frac{\frac{u_s}{R_1} + \frac{v}{R_2}}{\frac{1}{R_1} + \frac{1}{R_2}} \Rightarrow u_e = \frac{R_2 u_s + R_1 v}{R_1 + R_2}$$

2-4) $1^{\text{er}} \text{ Acl}$: $\varepsilon = V^+ - V^- = u_2 - 0 = u_2 = \frac{R_2 u_s + R_1 v}{R_1 + R_2}$

* basculement $u_s = -U_{\text{sat}} \rightarrow +U_{\text{sat}}$

$\Rightarrow \varepsilon = \frac{1}{R_1 + R_2} (-R_2 U_{\text{sat}} + R_1 v)$

basculement pour $\varepsilon = 0$ soit $v = V_0 = \frac{R_2}{R_1} U_{\text{sat}}$

* basculement $u_s = +U_{\text{sat}} \rightarrow -U_{\text{sat}}$

$\Rightarrow \varepsilon = \frac{1}{R_1 + R_2} (R_2 U_{\text{sat}} + R_1 v)$

basculement pour $\varepsilon = 0$ soit $v = -V_0 = -\frac{R_2}{R_1} U_{\text{sat}}$

2-5) Pour que le montage puisse fonctionner, il faut

$|v| \leq U_{\text{sat}}$ soit $V_0 = \frac{R_2}{R_1} U_{\text{sat}} < U_{\text{sat}}$

$\Rightarrow R_2 < R_1$

2-6) à $t=0$, $v = V_0$ et $u_s = U_{\text{sat}}$

et 2-7) $\left. \begin{aligned} \text{ou } \frac{dv}{dt} = -\frac{1}{\tau} u_s = -\frac{U_{\text{sat}}}{\tau} \\ v = -\frac{U_{\text{sat}}}{\tau} t + V_0 \end{aligned} \right\}$

* le basculement intervient à $t = t_1$ tel que $v = -V_0$

$-V_0 = -\frac{U_{\text{sat}}}{\tau} t_1 + V_0 \Rightarrow t_1 = \frac{2\tau V_0}{U_{\text{sat}}}$

$t > t_1$, $u_s = -U_{\text{sat}} \Rightarrow \frac{dv}{dt} = \frac{U_{\text{sat}}}{\tau}$

$\Rightarrow v = U_{\text{sat}} \frac{t - t_1}{\tau} - V_0 \quad (t = t_1, v = -V_0)$

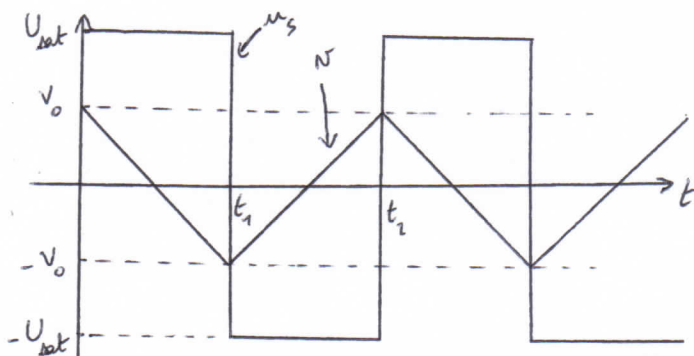
* basculement à $t = t_2$ tel que $v = +V_0$

$V_0 = U_{\text{sat}} \frac{t_2 - t_1}{\tau} - V_0 \Rightarrow t_2 = t_1 + 2\tau \frac{V_0}{U_{\text{sat}}}$

* on revient alors dans le même état qu'à $t=0$

\Rightarrow d'où la période du phénomène : $T' = t_2 - t_1 = 4\tau \frac{V_0}{U_{\text{sat}}}$

$T' = 4\tau \frac{R_2}{R_1} \Rightarrow f' = \frac{R_1}{4\tau R_2}$



2-8) L'intérêt de ce montage réside dans l'allure triangulaire de la tension $v(t)$ utilisable contrairement à $u_s(t)$ dans le premier montage.

2-9) $V_0 = 6V$
 $U_{\text{sat}} = 12V$) or $V_0 = \frac{R_2}{R_1} U_{\text{sat}}$

$\Rightarrow \frac{R_2}{R_1} = \frac{1}{2} \Rightarrow$ on prend

$R_2 = 1k\Omega$
 $R_1 = 2k\Omega$
 $(R_2 < R_1)$

* $f' = \frac{R_1}{4\tau R_2} = \frac{1}{2\tau}$ car $R_1 = 2R_2$

$f' = \frac{1}{2RC}$

on veut $100\text{Hz} \leq f' \leq 10000\text{Hz}$

$10^2 \leq \frac{1}{2RC} \leq 10^4$ or $C = 10\text{nF}$

$\Rightarrow 2 \cdot 10^6 \leq \frac{1}{R} \leq 2 \cdot 10^{-4} \Omega^{-1}$

$\Rightarrow 5k\Omega \leq R \leq 500k\Omega$

Ce sujet ressemble très fortement au TP EG.